

Finančni praktikum

# Vizing type conjecture for $k$ -total rainbow domination number

Avtorja:

Brina Pirc, Marcel Špehonja

Univerza v Ljubljani

Fakulteta za matematiko in fiziko

November, 2019

# Kazalo

<b>1</b>	<b>Predstavitev problema</b>	<b>2</b>
1.1	Naloga . . . . .	2
1.2	Definicije . . . . .	2
<b>2</b>	<b>Pristop k reševanju</b>	<b>2</b>
<b>3</b>	<b>Testiranje</b>	<b>3</b>
3.1	Vsi grafi do 5 vozlišč . . . . .	3
3.2	Dvodelni grafi . . . . .	9
3.3	Poti . . . . .	19
3.4	Drevesa . . . . .	21
3.5	Simulated annealing . . . . .	26
<b>4</b>	<b>Zaključek</b>	<b>27</b>

# 1 Predstavitev problema

## 1.1 Naloga

Ukrajinski matematik Vadim G. Vizing je leta 1963 postavil znano domnevo, da je produkt dominantnih števil grafov  $G$  in  $H$  kvečjemu manjši od dominantnega števila kartezičnega produkta teh dveh grafov. Medtem ko dokaz te domneve še vedno ostaja eden večjih problemov v teoriji grafov, se bova v svojem projektu spraševala, ali lahko pridemo bližje potrditvi (oz. zavrnitvi) naslednje domneve Vizingovega tipa:

**Domneva 4:** Naj bosta  $G$  in  $H$  povezana, neusmerjena grafa in  $k \geq 2$ . Potem velja:

$$\gamma_{krt}(G) \cdot \gamma_{krt}(H) \geq 2 \cdot \gamma_{krt}(G \square H).$$

Pri tem je  $\gamma_{krt}(G)$  oznaka za totalno dominantno število grafa  $G$ , kartezično pomnoženega s  $K$ -polnim grafom, torej  $\gamma_{krt}(G) = \gamma_t(G \square K_k)$ .

## 1.2 Definicije

DOMINANTNA MNOŽICA: dominantna množica grafa  $G = (V, E)$  je podmnožica vozlišč  $D \subset V$ , za katero velja, da ima vsako vozlišče  $v$  iz  $V \setminus D$  vsaj enega soseda, ki je element  $D$ .

DOMINANTNO ŠTEVILO: dominantno število grafa  $G$  je število vozlišč v najmanjši dominantni množici dominantne množice.

TOTALNO DOMINANTNO ŠTEVILO: je enako dominantnemu številu, z izjemo tega, da morajo imeti elementi v totalni dominantni množici prav tako povezavo z enim iz te množice. Torej prav vsako vozlišče grafa  $G$ , brez izjeme, mora imeti soseda v totalni dominantni množici (da je sam del te množice ne zadostuje).

KARTEZIJSKI PRODUKT: grafov  $G = (V, E)$  in  $H = (V', E')$  je graf  $G \square H$  z naborom vozlišč  $V \times V'$  ter povezavami med  $(v, v')$  in  $(u, u')$ , če je obstajala povezava med  $v$  in  $u$  ali med  $v'$  in  $u'$ .

TOTAL  $k$ -RAINBOW DOMINATION NUMBER: je totalno dominantno število grafa  $G$ , kartezijsko pomnoženega z grafom  $K_k$ , kar je oznaka za  $k$ -poln graf.

## 2 Pristop k reševanju

Za opravljanje projekta sva uporabljala programski jezik *Sage* na platformi *Cocalc*. Najina naloga je bila poiskati protiprimer domneve Vizingovega tipa, torej poiskati taka grafa  $G$  in  $H$ , kjer neenakost ne velja. Sprva sva definirala

funkcijo, ki sprejme dva grafa  $G$  in  $H$  ter koeficient  $k$ , vrne pa tako število  $c$ , za katero velja enakost  $\gamma_{krt}(G) \cdot \gamma_{krt}(H) = c \cdot \gamma_{krt}(G \square H)$ .

```
def konstanta(prvi, drugi, k):
    poln_graf = graphs.CompleteGraph(k)

    kartezijski_prvega_in_polnega = prvi.cartesian_product(poln_graf)
    kartezijski_drugega_in_polnega = drugi.cartesian_product(poln_graf)

    kartezijski_prvega_in_drugega = drugi.cartesian_product(prvi)
    kartezijski_kartezijskega = kartezijski_prvega_in_drugega.cartesian_product(poln_graf)

    krt_prvega = kartezijski_prvega_in_polnega.dominating_set(value_only=True, total=True)
    krt_drugega = kartezijski_drugega_in_polnega.dominating_set(value_only=True, total=True)
    krt_obeh = kartezijski_kartezijskega.dominating_set(value_only=True, total=True)

    return (krt_prvega * krt_drugega) / krt_obeh
```

Če torej dana domneva drži, mora biti  $c \leq 2$  za poljuben par povezanih grafov ter podan  $k$ . Cilj projekta je bil poiskati primer, pri katerem bo  $c > 2$ . Seveda je to težek problem, zato sva sprva opazovala, kaj se dogaja pri manjših grafih  $G$  in  $H$ . Postopoma sva povečevala število vozlišč. Pri manjših grafih do 5 vozlišč sva skušala preizkusiti vse možnosti, pri večjih grafih pa sva s pomočjo heuristike dodajala ali odvezemala povezave in sistematično raziskovala izide. Tu sva uporabila metodo *simulated annealing*. Hkrati sva počasi povečevala tudi  $k$ . Posebej sva obravnavala tudi dvodelne grafe, poti in drevesa ter ugotavljala kako se obnašajo v dani neenakosti. Zanimalo naju je predvsem pri katerem paru grafov je  $c$  največji, če je  $k$  konstanten.

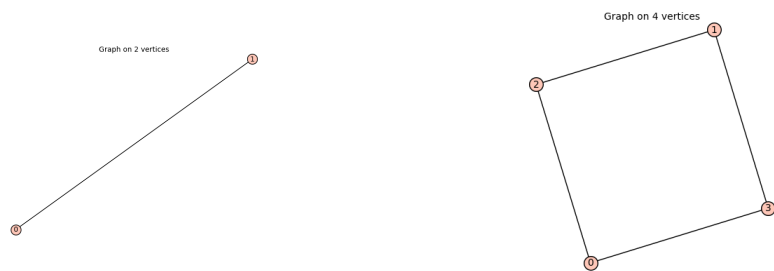
## 3 Testiranje

### 3.1 Vsi grafi do 5 vozlišč

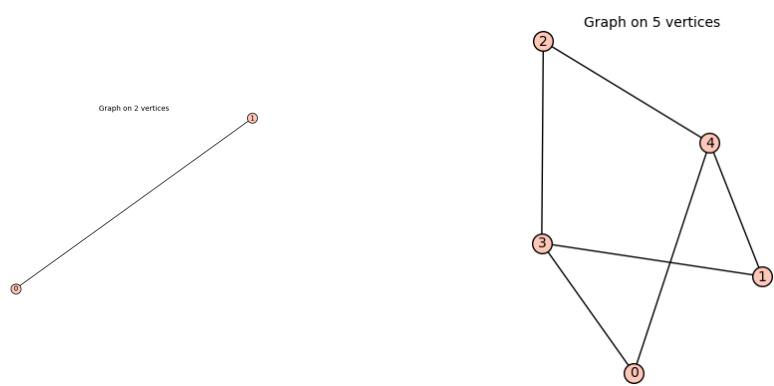
Najprej sva generirala vse povezane grafe od 2 do 5 vozlišč, ki jih je 30. Nato sva vzela vse možne kombinacije parov teh grafov, torej  $\binom{31}{2} = 465$ , ter vse te kombinacije vstavila v najino funkcijo, ki vrne iskan koeficient  $c$ . Dane rezultate sva nato vstavila v novi funkciji, ki sta poiskali maksimum in minimum izračunanih  $c$ -jev, ter izpisali pare grafov pri katerih je prišlo do teh ekstremov.

Pri prvem poskusu je bil  $k = 2$ : Maksimum iskanih koeficientov  $c$  je bil enak 2, število parov pri katerih je prišlo do maksimuma pa je bilo kar 10. Torej je pri desetih različnih parih grafov prišlo do enakosti domneve  $\gamma_{krt}(G) \cdot \gamma_{krt}(H) = 2 \cdot \gamma_{krt}(G \square H)$ . Minimum koeficienta  $c$  je bil  $2/5$ .

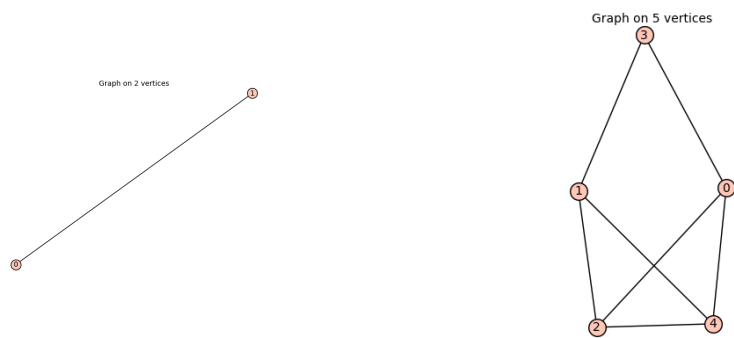
Spodaj so podani pari grafov pri katerih pride do maksimuma pri  $k = 2$ :



Slika 1:  $\text{do5}[0]$  in  $\text{do5}[6]$



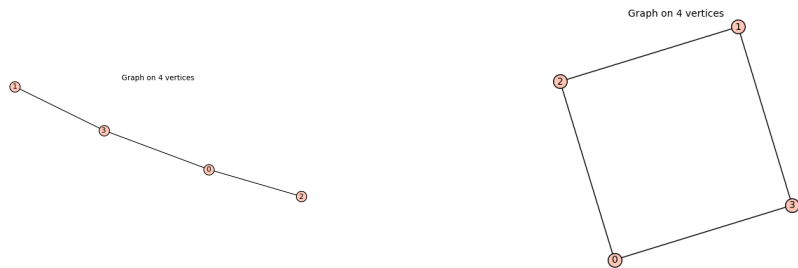
Slika 2:  $\text{do5}[0]$  in  $\text{do5}[15]$



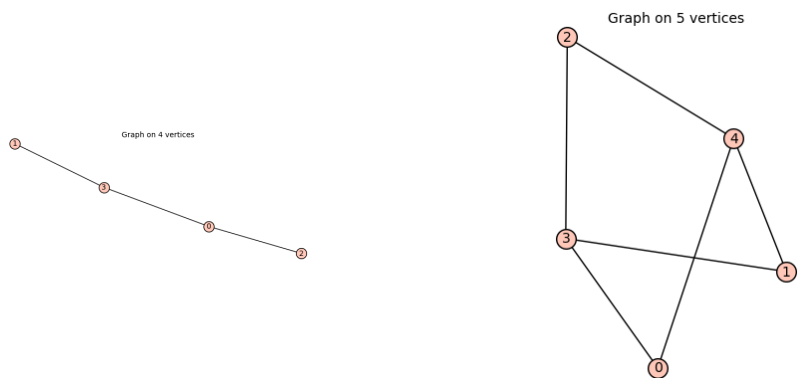
Slika 3:  $\text{do5}[0]$  in  $\text{do5}[26]$



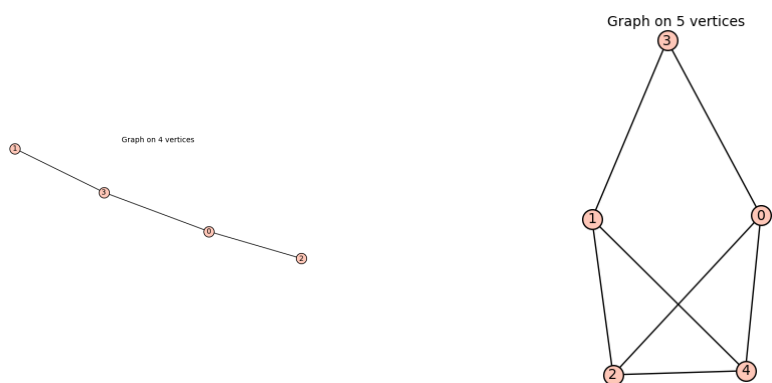
Slika 4:  $\text{do5}[4]$  in  $\text{do5}[4]$



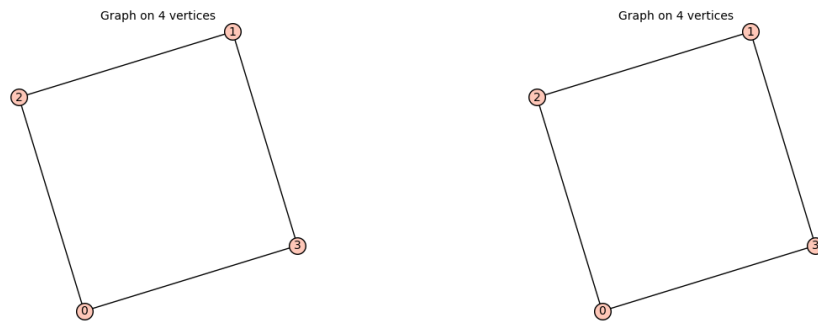
Slika 5:  $\text{do5}[4]$  in  $\text{do5}[6]$



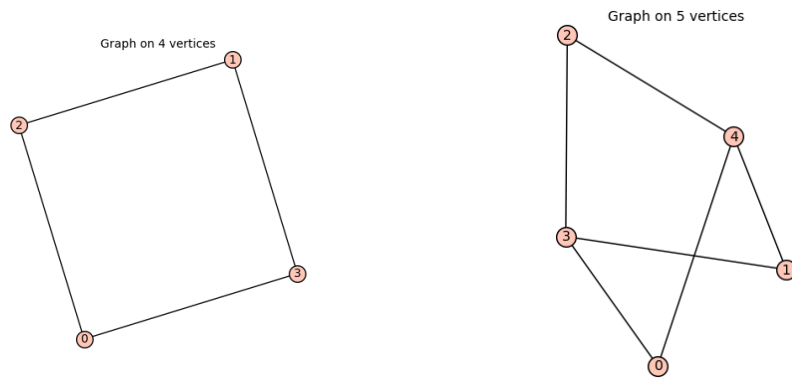
Slika 6:  $\text{do5}[4]$  in  $\text{do5}[15]$



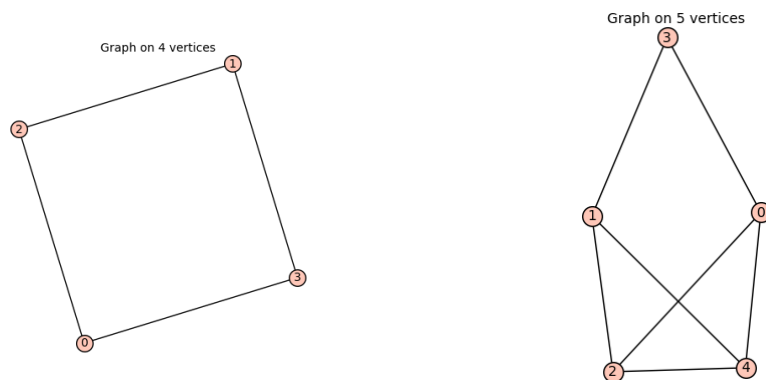
Slika 7:  $\text{do5}[4]$  in  $\text{do5}[26]$



Slika 8:  $\text{do5}[6]$  in  $\text{do5}[6]$



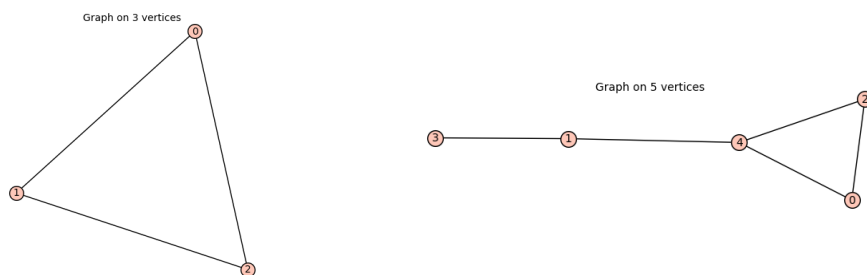
Slika 9:  $\text{do5}[6]$  in  $\text{do5}[15]$



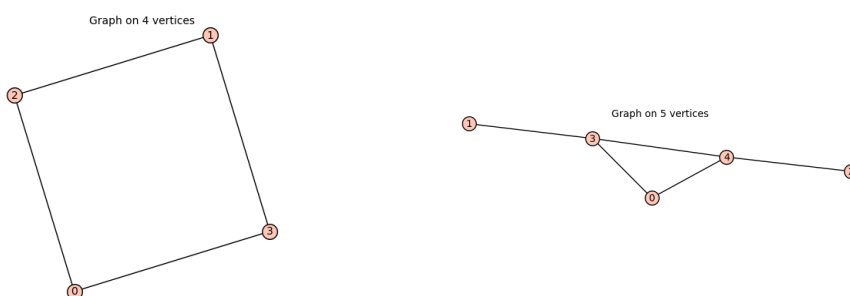
Slika 10:  $\text{do5}[6]$  in  $\text{do5}[26]$

$k = 3$ : Maksimum  $c$ -ja je bil sedaj  $5/3$ , kar je manj od 2, število parov pri katerih je prišlo do maksimuma pa 6. To nakazuje na domnevo da, ko povečujemo število  $k$  se koeficient  $c$  manjša. Minimum koeficienta  $c$  je bil  $9/13$ .

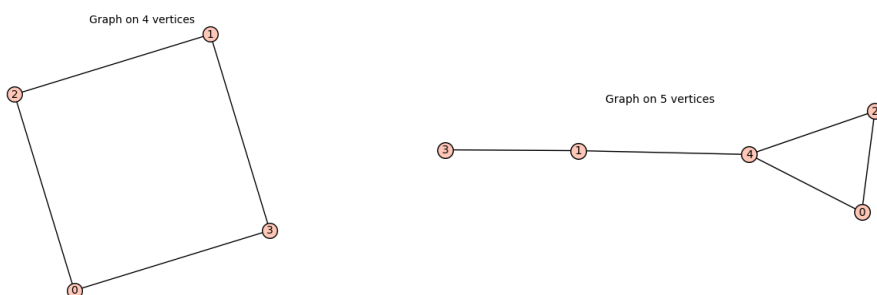
Spodaj so podani pari grafov pri katerih pride do maksimuma pri  $k = 3$  :



Slika 11: do5[2] in do5[18]

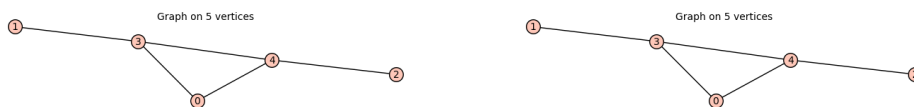


Slika 12: do5[6] in do5[13]



Slika 13: do5[6] in do5[18]





Slika 14: do5[13] in do5[13]

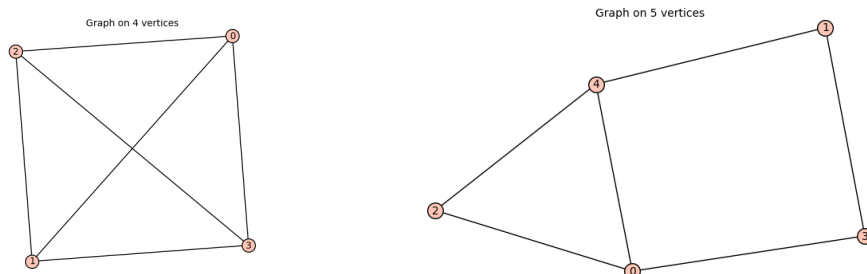


Slika 15: do5[13] in do5[18]



Slika 16: do5[18] in do5[18]

$k = 4$ : Maksimum  $c$ -ja se je ponovno zmanjšal pri  $k = 4$ , saj je  $20/13$ , kar je manj od  $5/3$ . Minimum koeficienta  $c$  pa je 1. Spodaj je podan par grafov pri katerem pride do maksimuma pri  $k = 4$ :



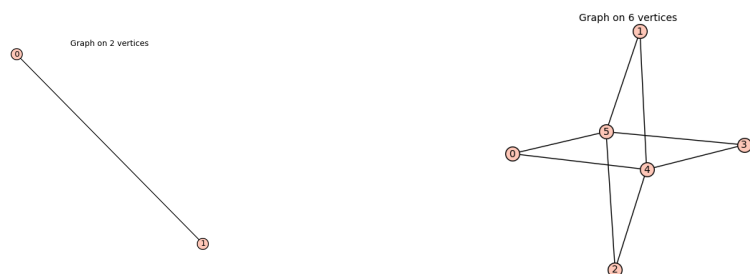
Slika 17: do5[8] in do5[21]

Zaenkrat bi lahko sklepali, da ko povečujemo  $k$ , se maksimum koeficienta  $c$  manjša, minimum pa več. Da bi to potrdili moramo testirati še grafe z več vozlišči.

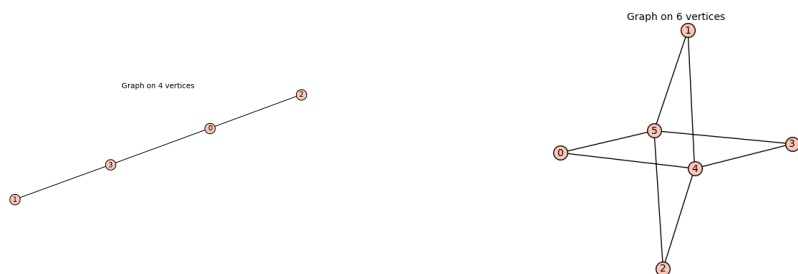
## 3.2 Dvodelni grafi

Podobno, kot pri prejšnjem primeru sva generirala grafe, tokrat dvodelne povezane do 6 vozlišč. Teh je 27, torej vseh možnih kombinacij parov je  $\binom{28}{2} = 378$ . Tudi ta primer potrди naše sklepanje, da se maksimum  $c$ -ja zmanjša, minimum pa poveča, ob večanju  $k$ -ja, saj smo pri  $k = 2$  dobili  $\max(c)=2$ ,  $\min(c)=1/3$ , pri  $k = 3$  smo dobili  $\max(c)=5/3$ ,  $\min(c)=9/16$ , pri  $k = 4$  pa  $\max(c)=30/19$ ,  $\min(c)=4/5$ .

Pari grafov pri katerih pride do maksimuma pri  $k = 2$  so naslednji: (če si bili pari že izrisani zgoraj pri vseh možnih grafih na 5 vozliščih se ne ponavljajo več)



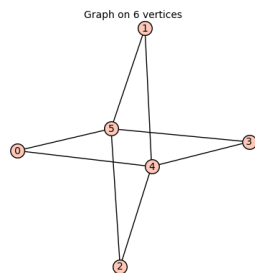
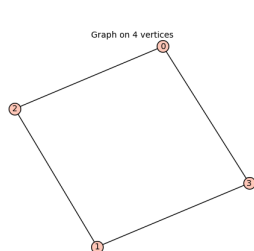
Slika 18: tdo6[0] in tdo6[17]



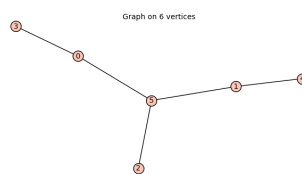
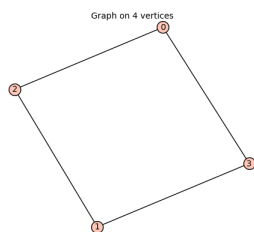
Slika 19: tdo6[3] in tdo6[17]



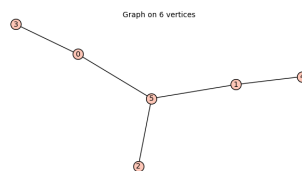
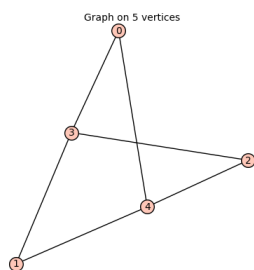
Slika 20: tdo6[3] in tdo6[18]



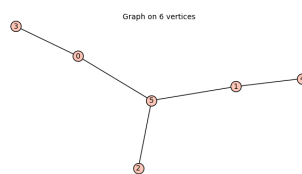
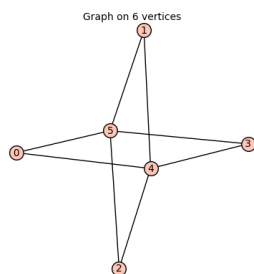
Slika 21:  $\text{tdo6}[4]$  in  $\text{tdo6}[17]$



Slika 22:  $\text{tdo6}[4]$  in  $\text{tdo6}[18]$



Slika 23:  $\text{tdo6}[8]$  in  $\text{tdo6}[18]$



Slika 24:  $\text{tdo6}[17]$  in  $\text{tdo6}[18]$

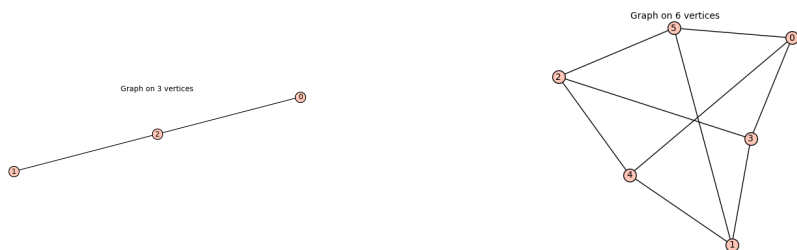


Slika 25: tdo6[18] in tdo6[18]

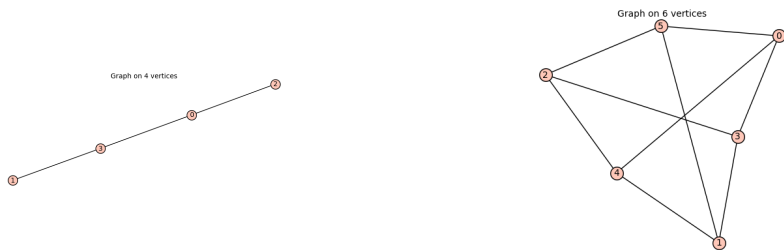
Pari grafov pri katerih pride do maksimuma pri  $k = 3$  (torej  $5/3$ ), so naslednji:



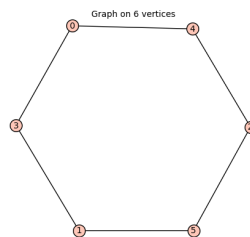
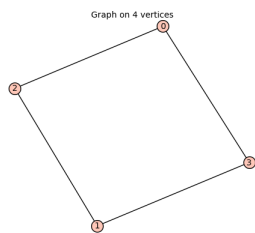
Slika 26: tdo6[0] in tdo6[26]



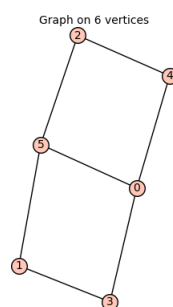
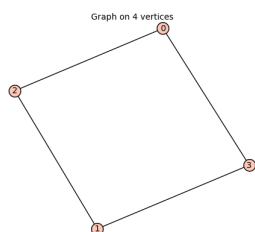
Slika 27: tdo6[1] in tdo6[26]



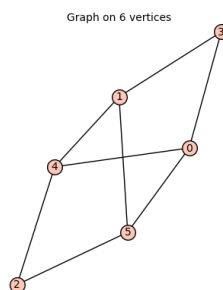
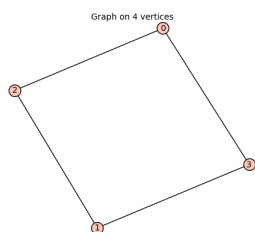
Slika 28: tdo6[3] in tdo6[26]



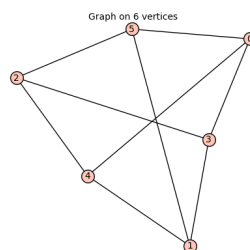
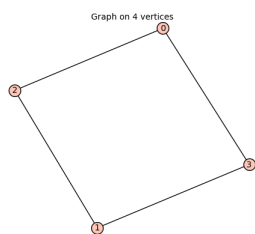
Slika 29:  $\text{tdo6}[4]$  in  $\text{tdo6}[23]$



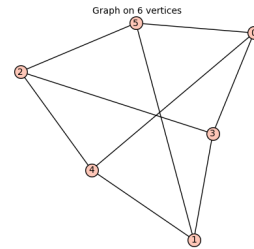
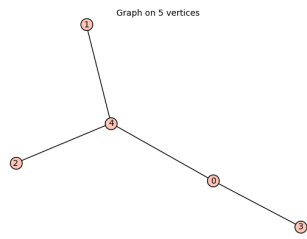
Slika 30:  $\text{tdo6}[4]$  in  $\text{tdo6}[24]$



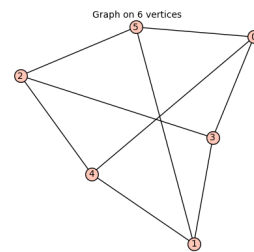
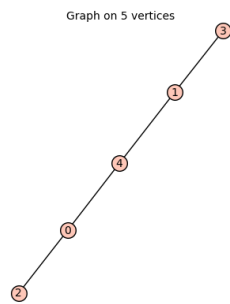
Slika 31:  $\text{tdo6}[4]$  in  $\text{tdo6}[25]$



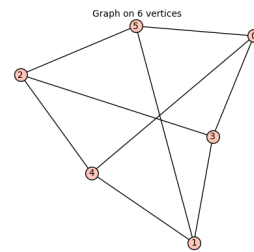
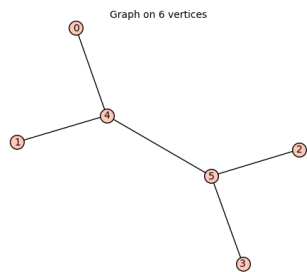
Slika 32:  $\text{tdo6}[4]$  in  $\text{tdo6}[26]$



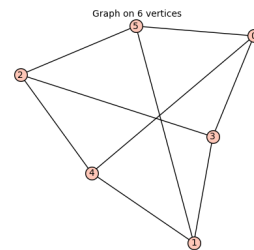
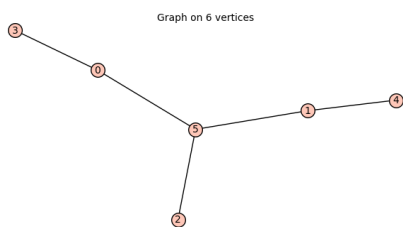
Slika 33:  $\text{tdo6}[6]$  in  $\text{tdo6}[26]$



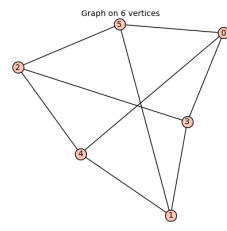
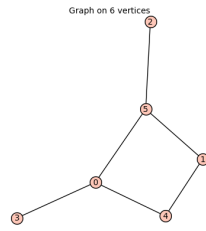
Slika 34:  $\text{tdo6}[9]$  in  $\text{tdo6}[26]$



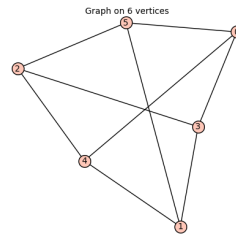
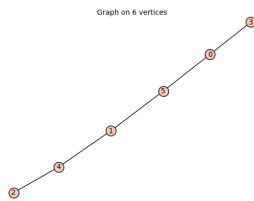
Slika 35:  $\text{tdo6}[14]$  in  $\text{tdo6}[26]$



Slika 36:  $\text{tdo6}[18]$  in  $\text{tdo6}[26]$

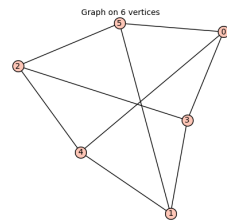
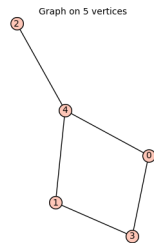


Slika 37: tdo6[19] in tdo6[26]

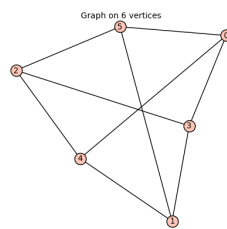
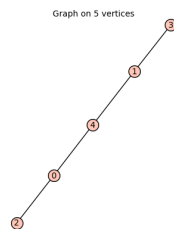


Slika 38: tdo6[20] in tdo6[26]

Para grafov pri katerih pride do maksimuma pri  $k = 4$  (torej 30/19) pa sta naslednja:



Slika 39: tdo6[7] in tdo6[26]



Slika 40: tdo6[9] in tdo6[26]

Vidimo pri maksimum velja :  $2 > 5/3 > 30/19$ , se manjša,

pri minimum pa:  $1/3 < 9/16 < 4/5$ , se več.

Tudi število parov, ki dosežejo maksimum se zmanjša, saj je pri  $k = 2$  maksimum doseglo 15 različnih parov, pri  $k = 3$ , 10 različnih, pri  $k = 4$  pa le 2 različna para.

Vzela sva tudi dvodelne grafe do 7 vozlišč (71 možnih), kjer sva pri generiranju parov odvzela tiste, ki so bili že obravnavani v prejšnjem primeru (kombinacij je torej  $\binom{7^2}{2} - 378 = 2178$ ). Dobili smo sledeče:

$k = 2$ :  $\max(c) = 2$ ,  $\min(c) = 2/7$

Pari grafov, kjer je dosežen maksimum so:



Slika 41: tdo7[0] in tdo7[37]

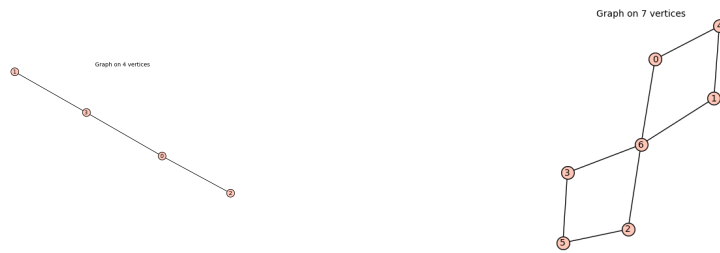


Slika 42: tdo7[0] in tdo7[55]



Slika 43: tdo7[3] in tdo7[37]





Slika 44:  $\text{tdo7}[3]$  in  $\text{tdo7}[55]$



Slika 45:  $\text{tdo7}[4]$  in  $\text{tdo7}[37]$



Slika 46:  $\text{tdo7}[4]$  in  $\text{tdo7}[52]$



Slika 47:  $\text{tdo7}[4]$  in  $\text{tdo7}[55]$



Slika 48:  $\text{tdo7}[4]$  in  $\text{tdo7}[68]$



Slika 49:  $\text{tdo7}[18]$  in  $\text{tdo7}[37]$



Slika 50:  $\text{tdo7}[18]$  in  $\text{tdo7}[55]$

$k = 3$ :  $\max(c) = 12/7$ ,  $\min(c) = 9/19$   
 Par grafov, kjer je dosežen maksimum  $12/7$  je:



Slika 51:  $\text{tdo7}[4]$  in  $\text{tdo7}[60]$

Ponovno rezultati potrjujejo našo domnevo.

### 3.3 Poti

Sprva sva opazovala vse kartezijske produkte poti na  $i$  vozliščih (kar je znašalo  $i \cdot (i - 1)/2$  rezultatov). Ugotovila pa sva, da se večinoma večje vrednosti za  $c$  nahajajo na začetku, torej da z večanjem vozlišč  $c$  v povprečju pada. S povečevanjem vozlišč bi tako dobivali le enake maksimume za  $c$ , saj se ti pojavijo pri manjših grafih. Zato sva se odločila, da z vsakim naslednjim poskusom zajameva le grafe, ki jih prej še nisva. Torej, da fiksiramo  $j$  (1. graf je torej  $P_j$ ) in opazujemo obnašanje  $c$ -ja, ko število vozlišč 2. grafa teče od 2 do  $j$ . Dobila sva zanimive rezultate, predvsem je zanimiv pojav pri grafu  $P_4$ . Kadar je  $k = 2$ , se največji  $c$  vedno pojavi v kombinaciji s slednjim grafom. Prišla sva do največ  $P_{12}$ , za izračun  $c$ -ja pri podanih  $P_9$  in  $P_{12}$  je program potreboval več kot en dan, nato se je ustavil (ne da bi vrnil vrednost). Kljub temu bi lahko iz vzorca sklepali, da je največji  $c$  dosežen pri  $P_4$  in  $P_{12}$ . Pri  $k = 2$  je maksimalni  $c = 2$ , dobimo pa ga v kombinaciji z grafoma  $P_4$ . Za  $k = 3$  sva najdlje prišla na 9-poti, pa še to brez 8,8-poti, 7,9-poti, 8,9-poti in 9,9-poti. Največji  $c$  pri dobljenih rezultatih je znašal  $20/13$  (za 4,5-poti). Pri  $k = 4$  je  $c$  največji z grafoma 6,6-poti, in sicer  $c = 4/3$  (do 6 vozlišč).

Ugotovila sva, da če sta  $n$  in  $k$  dovolj velika, bo  $k$ -totalno dominantno število enako  $n$ . To velja za  $k \geq 4$  in  $n \geq 2$ . To pomeni, da je pri takih kartezijskih produktih število obarvanih vozlišč enako številu vozlišč poti. To je jasno iz skice takega grafa. Tudi pri 3-polnem grafu dobimo vzorec  $k$ -totalnega dominantnega števila za pot, in sicer so rezultati sledeči:  $[2, 2, 3, 4, 5, 6, 6, 7, 8, 9, 10, 10, 11, 12, 13, 14, 14, \dots]$ , torej bo zmnožek  $3 - rt$  števil grafov  $n$  in  $m$  poti v primerjavi s  $k \geq 4$  padal, ko sta  $n$  in  $m$  vedno večja (v smislu da je pri  $n = 7$  in  $m = 3$  v prvem primeru  $3 \cdot 7 = 21$ , pri  $k = 3$  pa  $3 \cdot 6 = 18$ ). Pri  $k = 2$  pa je  $2 - rt$  število enako  $[2, 2, 2, 4, 4, 4, 6, 6, 6, \dots]$ , kjer je indeks v seznamu enak številu vozlišč poti (prvi element ima indeks 1). Tu je zmnožek še manjši (za  $n = 7$ ,  $m = 3$  dobimo  $2 \cdot 6 = 12$ ). To je tudi smiselno, saj večji kot je graf, večje število vozlišč bo v dominantni množici. Pri dotičnem primeru, torej 3-poti, 7-poti in  $k$  iz  $(2, 3, 4)$ ,  $c$  z naraščanjem  $k$  pada.

Problem, s katerim sva se soočala vseskozi projekt, je bil zahtevnost računanja  $k$ -totalnih dominantnih števil. Za manjše grafe in manjše  $k$ , kar je pri poteh pomenilo do 10 vozlišč, sva si pri računanju »grafa« (kot se je imenovala funkcija, ki je vračala najin  $c$ ) pomagala le s for zanko. Za splošne grafe pa sva za boljšo raziskovo uporabljala metodo simulated annealing. Za  $k = 3$  je bilo že 9 vozlišč na meji zmogljivosti, saj je program po 7 urah računanja vrnil največ  $(7,8)$  in  $(6,9)$ , torej ne pa kaj se zgodi, če opazujemo  $8 \times 8$ ,  $7 \times 9$ ,  $8 \times 9$  in  $9 \times 9$  poti.

$k = 2$ , maksimalni  $c = 2$  pri poteh na 4 vozliščih:



Slika 52: Poti na 4 vozliščih

$k = 3$ , maksimalni  $c = 20/13$  pri poti na 4 in 5 vozliščih:



Slika 53: Poti na 4 in 5 vozliščih

$k = 4$ , maksimalni  $c = 4/3$  pri poteh na 6 vozliščih:



Slika 54: Poti na 6 vozliščih

$k = 5$ , maksimalni  $c = 15/13$  pri poteh na 3 in 5 vozliščih:



Slika 55: Poti na 3 in 5 vozliščih

### 3.4 Drevesa

Najprej sva naredila seznam neizomorfnih dreves. Takšnih dreves na do 10 vozliščih je 201. Ker so bile že pri poteh na 12 vozliščih in  $k = 2$  težave, sva tu pričakovala še počasnejše računanje. Pri  $k = 2$  je bil največji  $c = 2$ . Skušala sva računati le za drevesa na 9 vozliščih, vendar jih je izračunal zelo malo, največ  $T[48]$ ,  $T[201]$ . Pri  $k = 3$  je izračunal največ drevesa na do 7 vozlišč,  $c = 35/22$ ; pri  $k = 4$  je  $c = 4/3$  (vozlišča do 5);  $k = 5$ ,  $c = 5/4$  (do 5 vozlišč).

$k = 2$ , maksimalni  $c = 2$  pri 10 različnih parih:



Slika 56: Prvi par: drevesi na 4 vozliščih (grafa sta poti in sta se pojavila že pri poglavju poti)



Slika 57: Drugi par: drevesi na 4 in 6 vozliščih



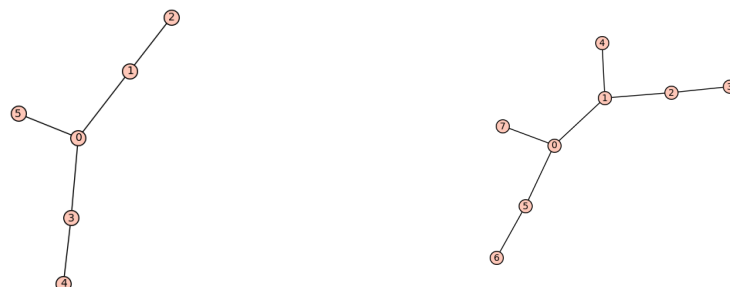
Slika 58: Tretji par: drevesi na 4 in 8 vozliščih



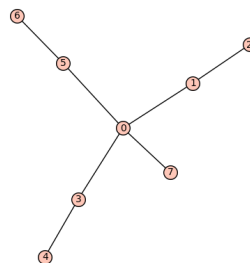
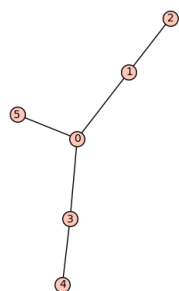
Slika 59: Četrty par: drevesi na 4 in 8 vozliščih



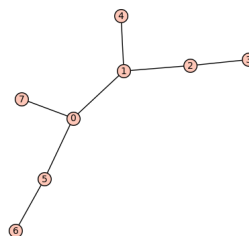
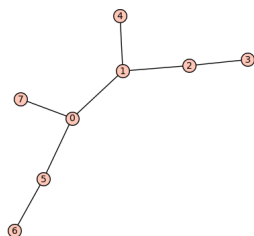
Slika 60: Peti par: drevesi na 6 vozliščih



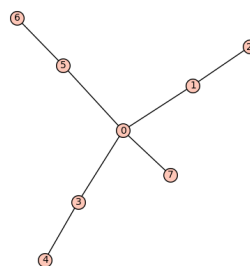
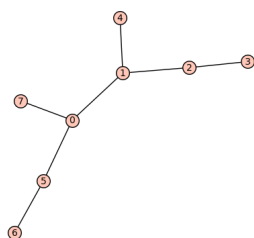
Slika 61: Šesti par: drevesi na 6 in 8 vozliščih



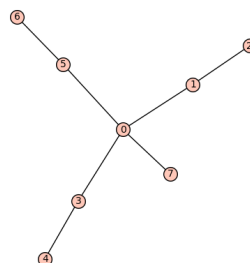
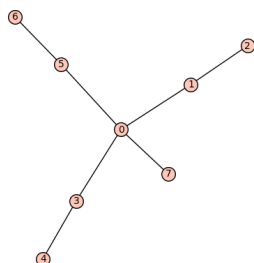
Slika 62: Sedmi par: drevesi na 6 in 8 vozliščih



Slika 63: Osmi par: drevesi na 8 vozliščih



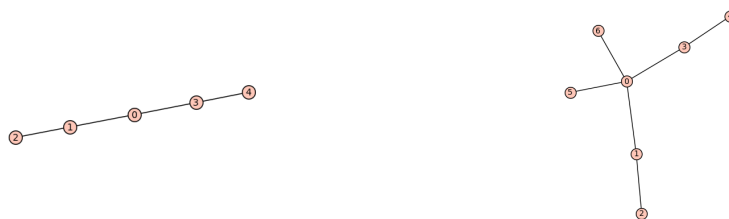
Slika 64: Deveti par: drevesi na 8 vozliščih



Slika 65: Deseti par: drevesi na 8 vozliščih



$k = 3$ , maksimalni  $c = 35/22$ :



Slika 66: Drevesi na 5 in 7 vozliščih

$k = 4$ , maksimalni  $c = 4/3$  pri 3 parih:



Slika 67: Prvi par: drevesi na 4 vozliščih



Slika 68: Drugi par: drevesi na 4 vozliščih



Slika 69: Tretji par: drevesi na 4 in 5 vozliščih

$k = 5$ , maksimalni  $c = 5/4$  pri 2 parih:



Slika 70: Prvi par: drevesi na 5 vozliščih



Slika 71: Prvi par: drevesi na 5 vozliščih

### 3.5 Simulated annealing

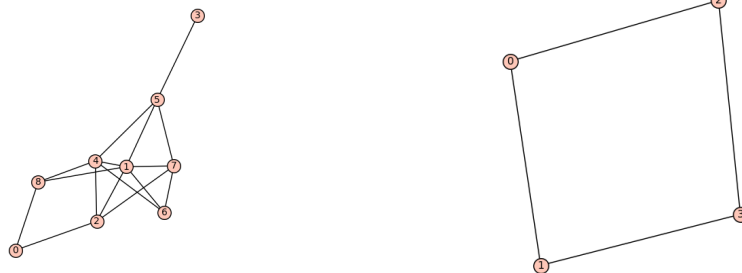
Za večje grafe sva definirala psevdokodo po metodi simulated annealing:

```
from sage.graphs.connectivity import is_connected
def spremeni_povezave(G):
    H = Graph(G)
    if random() < 0.5:
        p=0
        while True:
            H.delete_edge(H.random_edge())
            if is_connected(H):
                H
                break
            else:
                H = Graph(G)
                p += 1
                True
        if p > 20:          #če ne more odstraniti povezave mu jo doda
            H.add_edge(H.complement().random_edge())
            break
    else:
        if H.complement().size() == 0:
            H.delete_edge(H.random_edge())
        else:
            H.add_edge(H.complement().random_edge())
    return H

k = 2
p = 0
stevilo_korakov = 300
cost_grafa = konstanta(prvi_graf, drugi_graf, k)
for p in range(0, stevilo_korakov):
    Temp = stevilo_korakov / (p+1)
    a = random()
    if a < (1/3):
        novi_prvi_graf = spremeni_povezave(prvi_graf)
        novi_drugi_graf = spremeni_povezave(drugi_graf)
    elif (1/3)<a and a<(2/3):
        novi_prvi_graf = spremeni_povezave(prvi_graf)
        novi_drugi_graf = drugi_graf
    else:
        novi_prvi_graf = prvi_graf
        novi_drugi_graf = spremeni_povezave(drugi_graf)

    cost_nova_grafa = konstanta(novi_prvi_graf, novi_drugi_graf, k)
    razlika = cost_nova_grafa - cost_grafa      #če razlika pozitivna zamenjamo prvotna grafa z novimi
    if razlika > 0:
        prvi_graf = novi_prvi_graf
        drugi_graf = novi_drugi_graf
        cost_grafa = cost_nova_grafa
    elif exp((razlika * 200) / Temp) > random():
        prvi_graf = novi_prvi_graf
        drugi_graf = novi_drugi_graf
        cost_grafa = cost_nova_grafa
    p += 1
```

Ta algoritem sprejme dva naključna grafa na določenem številu vozlišč, ki jima nato spreminja povezave, s funkcijo *spremeni\_povezave()* in ugotavlja kako morata biti ta dva grafa povezana, da dosežemo čim večji koeficient  $c$ . Tu sva vstavljala grafe velikosti od 8 do 10 vozlišč. Prav vsi poskusi so ponovno pokazali, da ko povečamo  $k$  se koeficient  $c$  zmanjša. Pri  $k = 2$  algoritem večinoma vrne vrednost  $c = 2$ . Takoj ko  $k$  povečamo pa vrednost  $c$ -ja pade. Pri  $k = 3$  sva dobila največji  $c = 14/9$  pri naslednjem paru grafov:

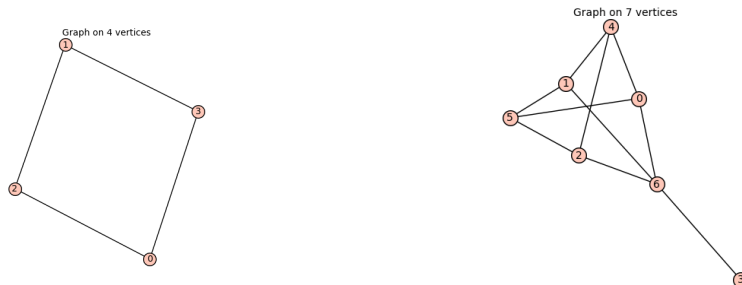


Slika 72: grafa na 4 in 9 vozliščih]

## 4 Zaključek

V vseh najinih poskusih vrednost koeficienta  $c$  nikoli ni bila večja od 2. To pomeni, da nisva našla protiprimera obravnavane domneve Vizingovega tipa. Sva pa prišla do ugotovitve, da kadar je  $k \geq 3$ , bo  $c$  vedno strogo manjši od 2.

Za  $k = 3$  je bila maksimalna vrednost koeficienta  $c$  v vseh najinih poskusih enaka  $12/7$  in sicer pri naslednjem paru:



Slika 73: tdo7[4] in tdo7[60]

Za  $k = 4$  je bila maksimalna vrednost koeficienta  $c$  v vseh najinih poskusih enaka  $30/19$  in sicer pri naslednjih parih:



Slika 74: tdo6[7] in tdo6[26]



Slika 75: tdo6[9] in tdo6[26]

Za  $k = 5$  je bila maksimalna vrednost koeficienta  $c$  v vseh najinih poskusih enaka  $30/19$  in sicer pri naslednjih dveh parih:



Slika 76: Prvi par: drevesi na 5 vozliščih



Slika 77: Prvi par: drevesi na 5 vozliščih

Torej, maksimalni  $c$  se pojavi le v kombinaciji s  $k = 2$ . Poleg tega sva ugotovila, da  $c$  v vseh obravnavanih grafih pada, ko večamo  $k$ , pri tem pa je pri dvodelnih grafih (kjer sva beležila tudi najmanjše vrednosti za  $c$ ) minimalni  $c$  naraščal proti 1.